

Modelo LMG Pateado

Jesús Alfonso Segura Landa

Facultad de Física. Universidad Veracruzana.

24 de enero de 2023

Conceptos preliminares

Vamos a estudiar la versión pateada del modelo de Lipkin-Meshkov-Glick con Hamiltoniano

$$\hat{H}_0 = \hat{J}_z + \frac{\gamma_x}{2J-1} \hat{J}_x^2 + \frac{\gamma_y}{2J-1} \hat{J}_y^2. \quad (1)$$

El Hamiltoniano total se obtiene añadiendo el término pateado que denotaremos como H_k

$$\hat{H}_k = \epsilon \hat{J}_j \sum_{n=0}^{\infty} \delta(t - n\tau) \quad (2)$$

$$\hat{H} = \hat{H}_0 + \hat{H}_k \quad (3)$$

Evolución temporal

El operador evolución para un modelo pateado es conocido como operador de Floquet. Es un operador de evolución *discreto*, en el sentido de que indica la evolución de un estado a cada n -patadas.

$$\hat{F} = \exp\left(-i\tau\hat{H}_0\right) \cdot \exp\left(-i\hat{H}_k\right), \quad (4)$$

Para $\epsilon \approx 0$, muchas de las propiedades de H_0 se heredan a F . Los eigenvalores del operador de Floquet son conocidos como *cuasienergías*

$$\hat{F} |f_k\rangle = e^{-i\varphi_k} |f_k\rangle, \quad \varphi_k \rightarrow \text{cuasienergías}. \quad (5)$$

Las cuasienergías están asociadas a la cantidad e^{-iE_k} , con E_k las energías del sistema H_0 .

Una cantidad de interés serán además los valores de expectación:

$$\langle f_k | \hat{H}_0 | f_k \rangle, \quad \hat{F} | f_k \rangle = e^{-i\varphi} | f_k \rangle, \quad (6)$$

que está asociada a la energía del sistema E_k . Además, la entropía de entrelazamiento:

$$EE_A = -\text{Tr}[\rho_A \log(\rho_A)], \quad \rho_A = \text{Tr}_B(\rho_{AB}). \quad (7)$$

Hamiltoniano clásico

En términos de los estados coherentes

$$|\alpha\rangle = (1 + |\alpha|^2)^{-j} \sum_{m=-j}^j \alpha^{j-m} \binom{2j}{j+m}^{1/2} |jm\rangle, \quad \alpha = e^{-i\phi} \tan \theta/2, \quad (8)$$

podemos encontrar la aproximación semi-clásica

$$\langle \alpha | \hat{H}_0 | \alpha \rangle = J \left[z + \frac{1-z^2}{2} (\gamma_x \cos^2 \phi + \gamma_y \sin^2 \phi) + C \right], \quad C = \frac{\gamma_x + \gamma_y}{2(2j+1)}. \quad (9)$$

Clásicamente las patadas pueden expresarse como

$$\langle \alpha | J_x | \alpha \rangle = \sqrt{1-z^2} \cos \phi, \quad \langle \alpha | J_z | \alpha \rangle = z. \quad (10)$$

Análisis clásico

En términos de las variables canónicas

$$Q = \sqrt{2(1+z)} \cos \phi, \quad P = -\sqrt{2(1+z)} \sin \phi \quad (11)$$

$$z = \frac{Q^2 + P^2}{2} - 1, \quad \phi = \tan^{-1} \left(-\frac{P}{Q} \right) \quad (12)$$

El Hamiltoniano puede expresarse como

$$H = \frac{Q^2 + P^2}{2} \left(1 - \frac{1}{4}(\gamma_x Q^2 + \gamma_y P^2) \right) + \frac{1}{2}(\gamma_x Q^2 + \gamma_y P^2) + (C - 1). \quad (13)$$

Exponentes de Lyapunov

Para calcular los exponentes de Lyapunov se resuelven simultáneamente las ecuaciones de Hamilton

$$\dot{q} = \frac{\partial H}{\partial p}, \quad \dot{p} = -\frac{\partial H}{\partial q}, \quad (14)$$

y la ecuación variacional¹:

$$\dot{\Phi}(x_0, t) = D_x f(\mathbf{x}(x_0, t)) \cdot \Phi(x_0, t), \quad \Phi(x_0, t = t_0) \equiv \mathbb{I}, \quad (15)$$

donde $D_x f(\mathbf{x}(t))$ es la matriz Jacobiana de (14).

¹Parker and Chua. Practical Numerical algorithms for Chaotic systems.

Conceptos preliminares

La condición de cruzamientos reales y evitados ²

$$\gamma_x \gamma_y = \left(\frac{2J - 1}{2J - N} \right)^2, \quad (16)$$

donde N es un número entero dentro del intervalo $(0, 2J)$. Si fijamos $\gamma_x = 3\gamma_y$ entonces la ecuación de arriba se convierte

$$\gamma_x = -\frac{1}{\sqrt{3}} \left(\frac{2J - 1}{2J - N} \right). \quad (17)$$

Para N par tendremos cruces evitados, mientras que para N impar cruces reales. Valores fraccionarios no arrojarán ningún tipo de cruzamiento.

²Nader D., and Lerma S. and Gónzales-Rodríguez (2021). Avoided crossings and dynamical tunneling close to excited-state quantum phase transitions

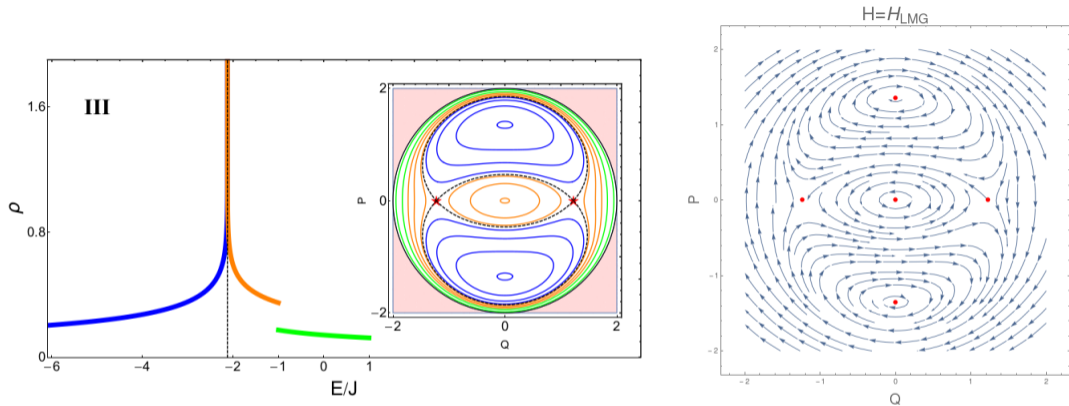


Figura 1: Densidad de estados clásica (izquierda) y trayectorias clásicas (derecha). Imagen recuperada del trabajo de Nader et. al.

Entropía de Entrelazamiento

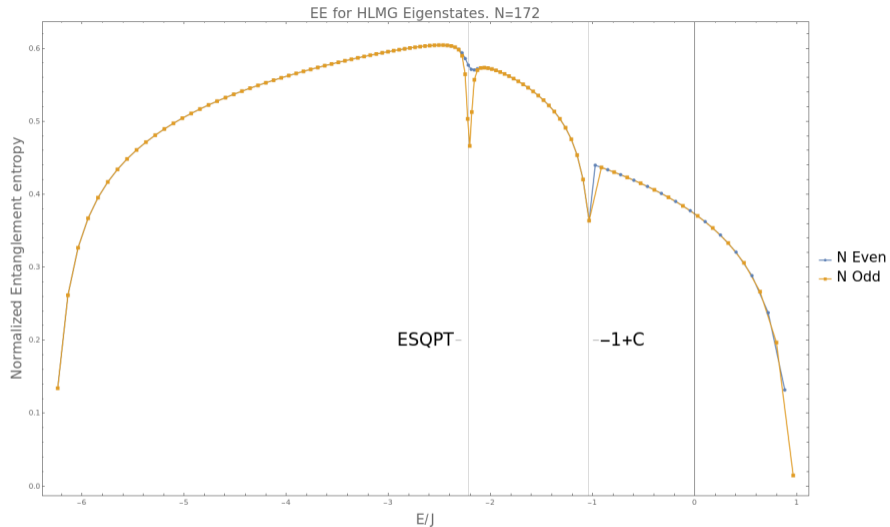


Figura 2: Entropía de entrelazamiento para N=172 (cruce evitado).

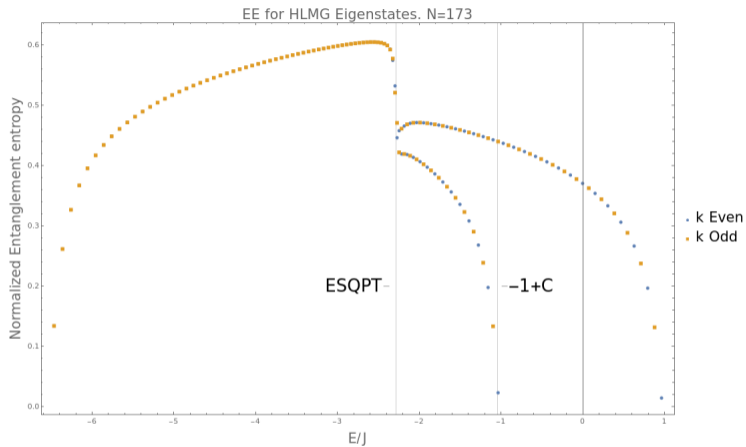
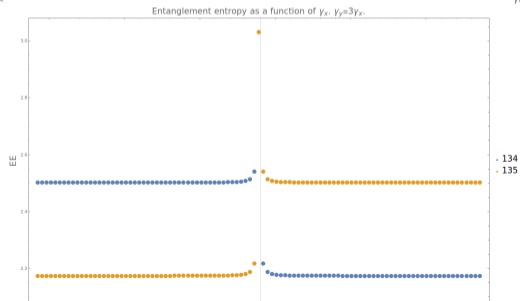
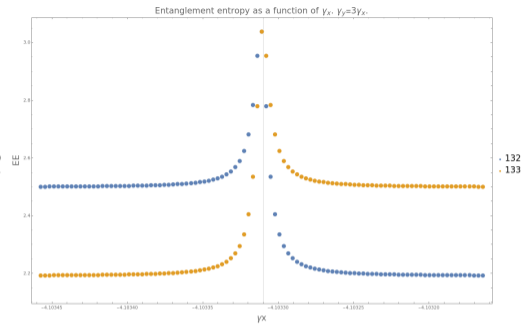
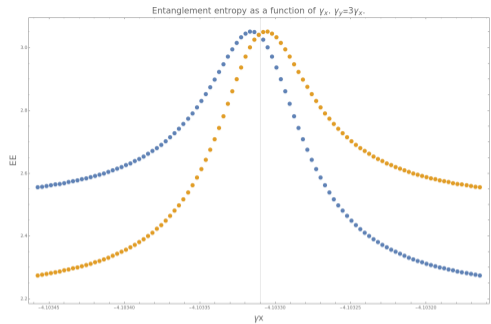


Figura 3: Entropía de entrelazamiento para N=173 (cruce real).



Análisis pateado

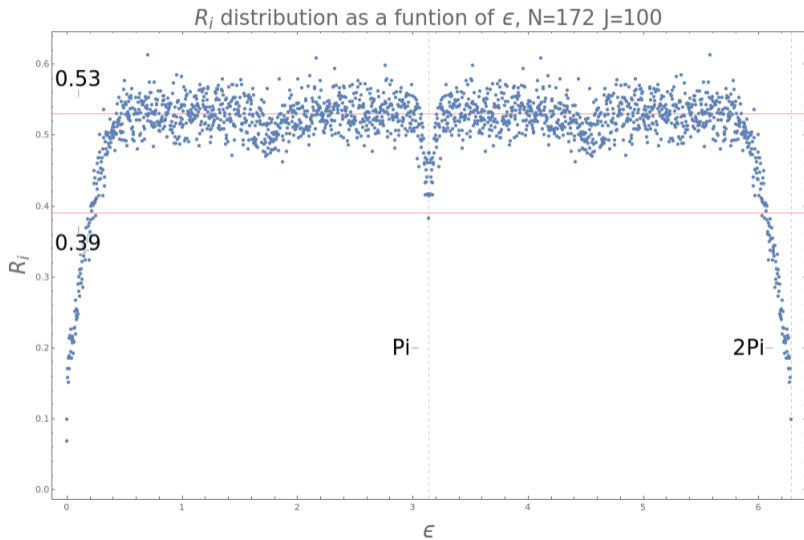
Distribución de espaciado de niveles

Una cantidad útil para determinar la transición al caos de un sistema cuántico es

$$r_n = \text{Min} \left(\frac{\varphi_{n+2} - \varphi_{n+1}}{\varphi_{n+1} - \varphi_n}, \frac{\varphi_{n+1} - \varphi_n}{\varphi_{n+2} - \varphi_{n+1}} \right). \quad (18)$$

donde φ son las cuasienergías. Empíricamente se sabe que si este valor tiene a aproximadamente 0,53, el sistema será caótico. Si tiende a 0,39 será regular.

Distribución de espaciado de niveles



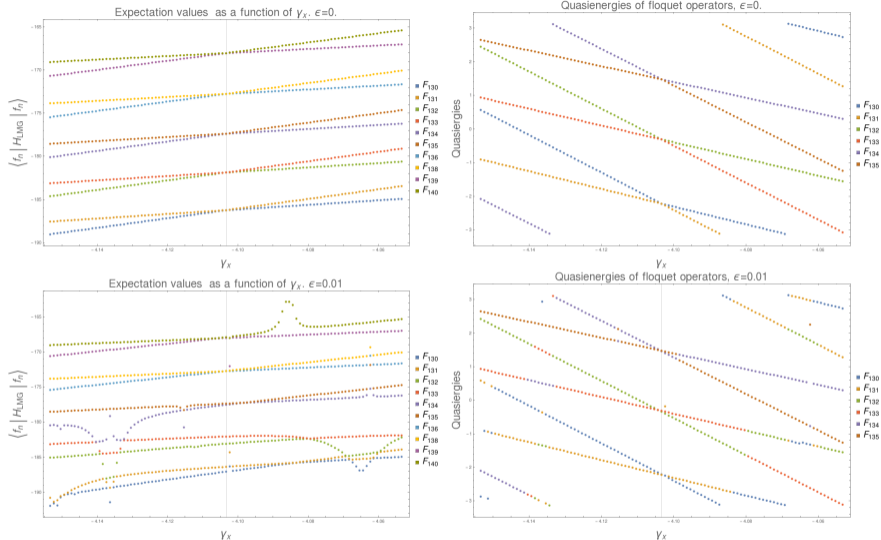


Figura 6: Valores de expectación (izquierda) y cuasienergías (derecha), para una patada en J_x .

Cantidades útiles a observar:

- ▶ IPR (para los eigenvectores del operador de Floquet en términos de la base de \hat{H}_0)

$$H|E_n\rangle = E_n|E_n\rangle, \quad |f_n\rangle = \sum_k c_k |E_n\rangle, \quad \text{IPR} = \sum_k |c_k|^4 \quad (19)$$

- ▶ Entropías de Rényi (para estados coherentes en la base propia de \hat{F}):

$$S_q = \frac{1}{1-q} \ln \left(\sum_n |c_n|^{2q} \right) \quad (20)$$

1. Para $q=1$, S_1 recuperamos la entropía de Shannon.
2. Para $q=2$, S_2 recuperamos el logaritmo de la razón de participación.

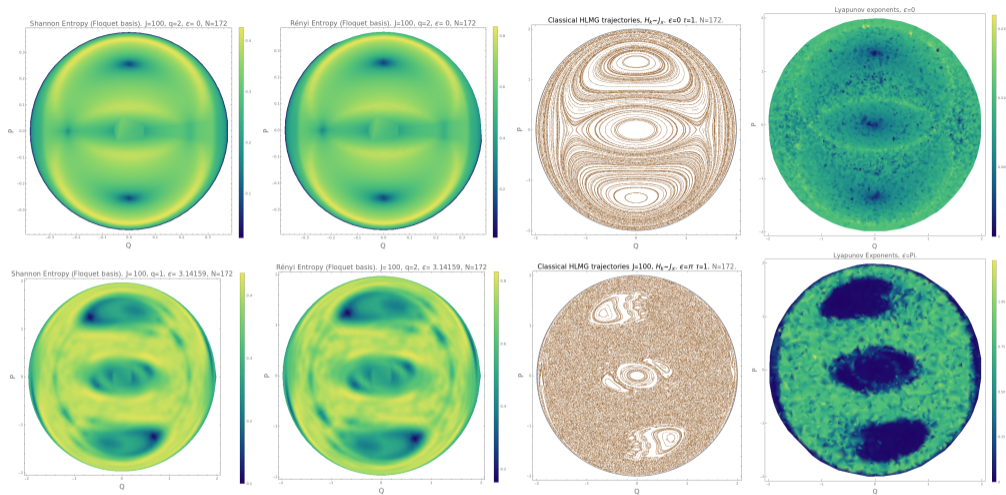


Figura 7: Correspondencia clásico-cuántica. Entropía de Shannon ($q = 1$), Entropía de Rényi ($q = 2$), sección de Poincaré y exponentes de Lyapunov.

IPR y rompimiento de la superposición (dirección J_z)

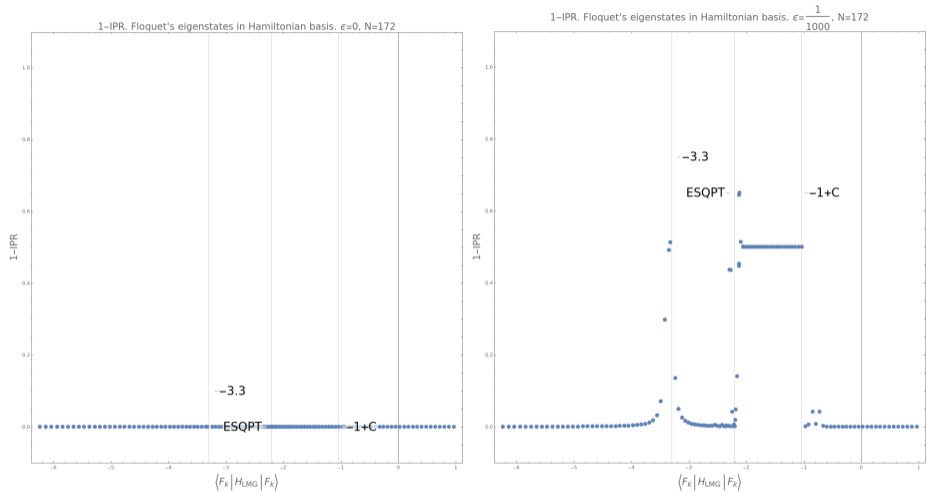
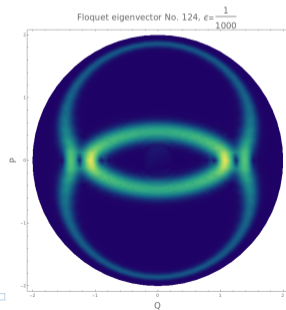
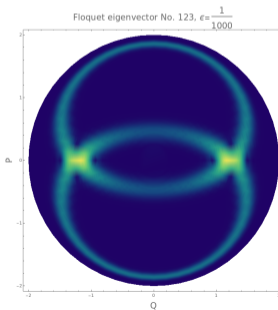
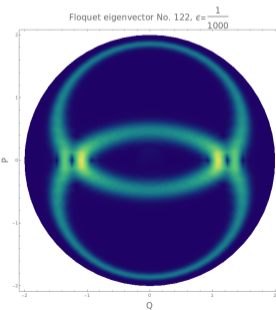
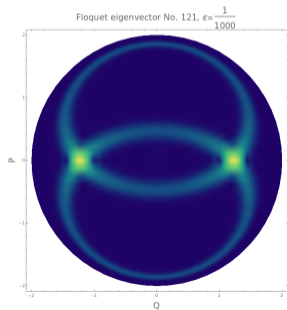
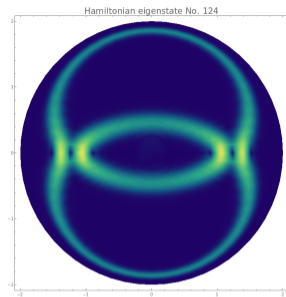
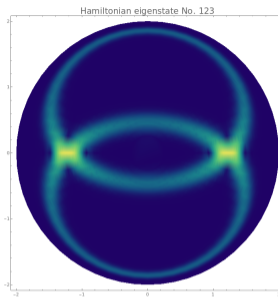
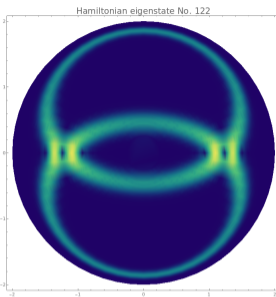
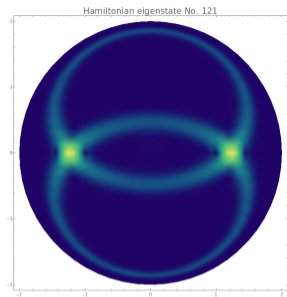
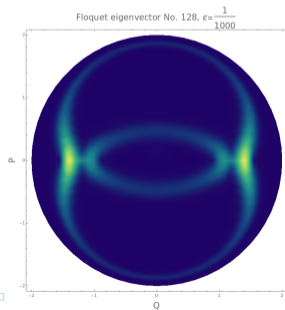
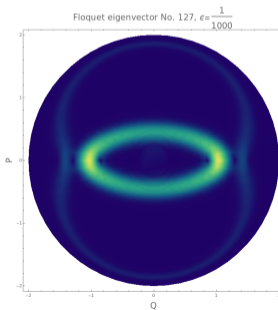
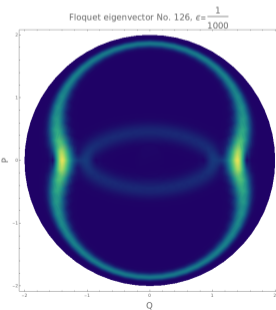
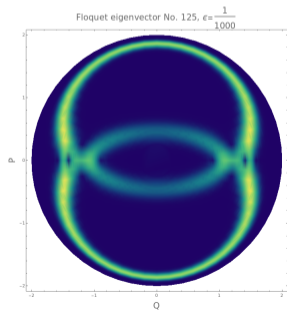
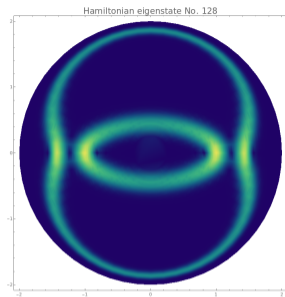
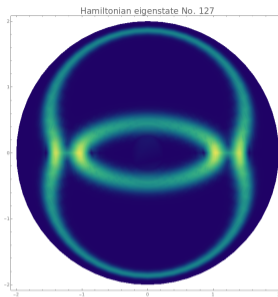
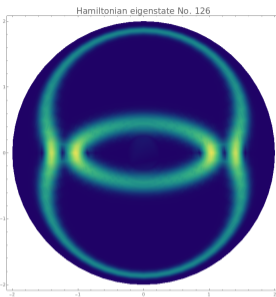
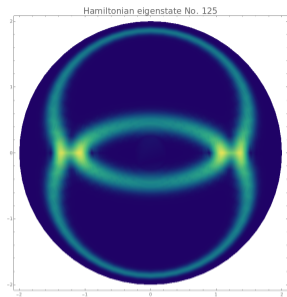
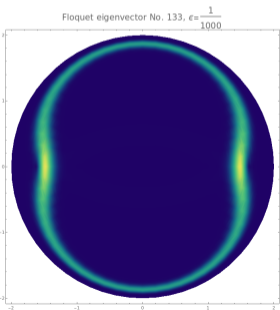
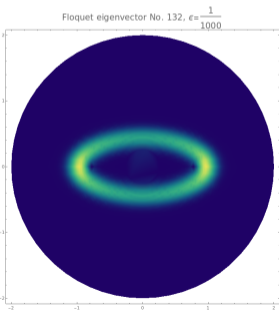
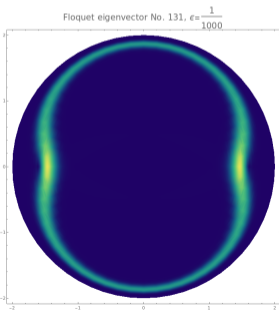
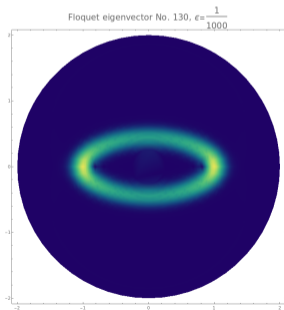
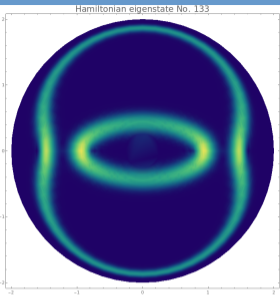
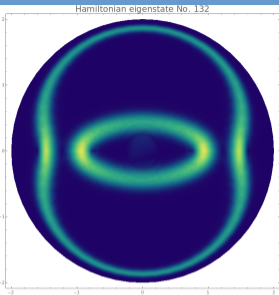
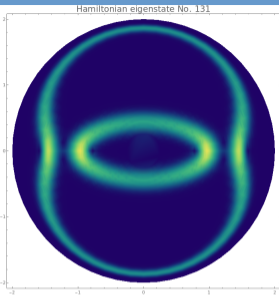
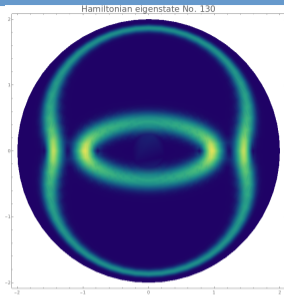


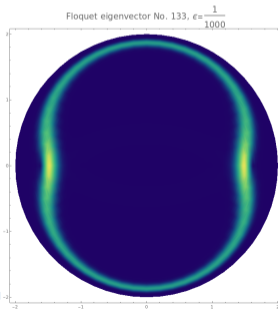
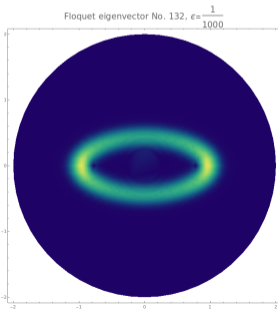
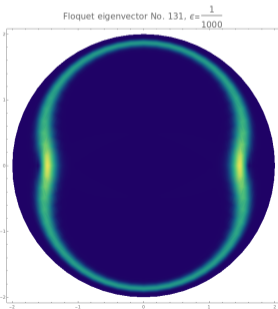
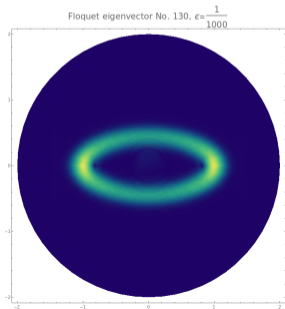
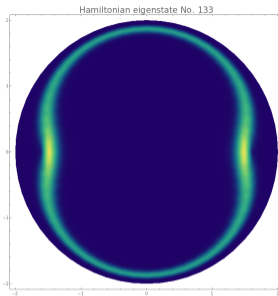
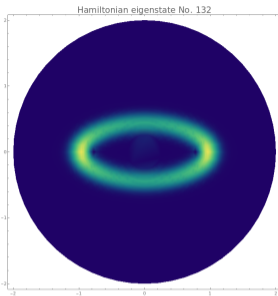
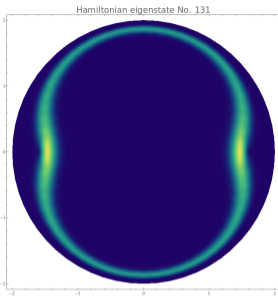
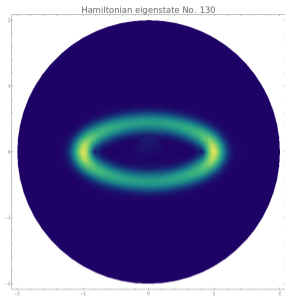
Figura 8: IPR para los eigenvectores de Floquet en la base \hat{H}_0 , $\epsilon = 0$ (izquierda) y $\epsilon = \frac{\pi}{10000}$ (derecha).







Funciones de Husimi en la condición de cruce real



Fenómeno de resonancias

Podemos encontrar los periodos de las trayectorias clásicas en el espacio fase fijando ³

$$\rho_{\text{sc}}(E) = \frac{1}{2\pi} \int_{\phi \in \Phi_\epsilon} \frac{d\phi}{\sqrt{1 - A(\phi)[2\epsilon - A(\phi)]}} \\ \times \int_{-1}^1 dz [\delta(z - z_+) + \delta(z - z_-)],$$

con

$$A(\phi) = \gamma_x \cos^2 \phi + \gamma_y \sin^2 \phi, \quad z_{\pm} = \frac{1}{A(\phi)} \pm \frac{1}{A(\phi)} \sqrt{1 - A(\phi)[2\epsilon - A(\phi)]}. \quad (21)$$

Para $\epsilon \ll 1$, puede visualizarse un fenómeno interesante. Ocurren cuando el periodo de las trayectorias clásicas del LMG y el periodo de las patadas es un número entero y se manifiesta en todas las cantidades cuánticas.

³Nader D., and Lerma S. and Gónzales-Rodríguez (2021). Avoided crossings and dynamical tunneling close to excited-state quantum phase transitions

Resonancias en dirección Jz

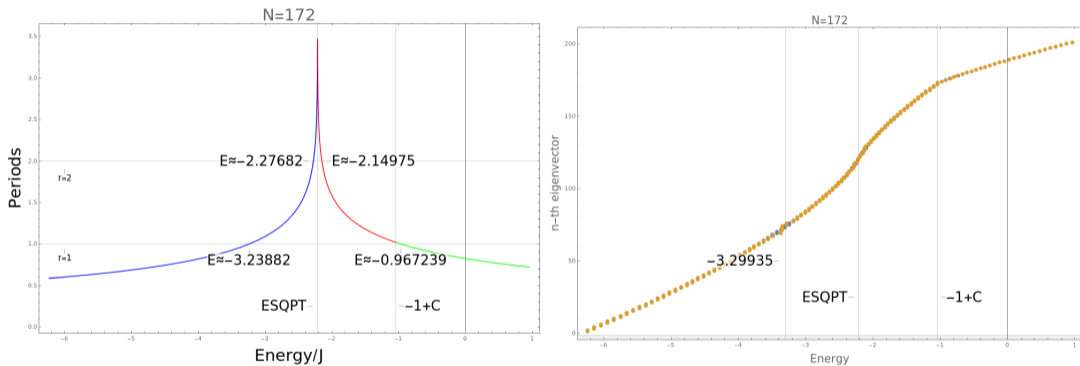


Figura 9: LMG Periods (left, $\epsilon = 0$) and Expectacion values (right, $\epsilon = \frac{\pi}{1000}$, $\tau = 1$)

Resonancias en dirección Jz

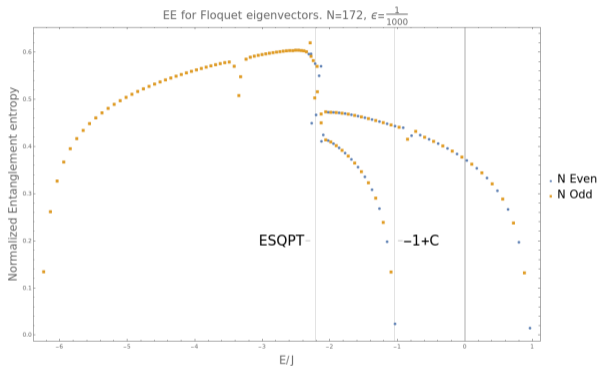
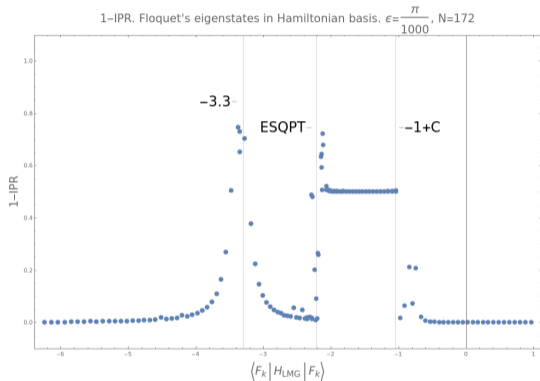


Figura 10: 1-IPR (left, $\epsilon = \frac{\pi}{1000}$) and Expectacion values (right, $\epsilon = \frac{\pi}{100}$, $\tau = 1$)

Resonancias en dirección Jz

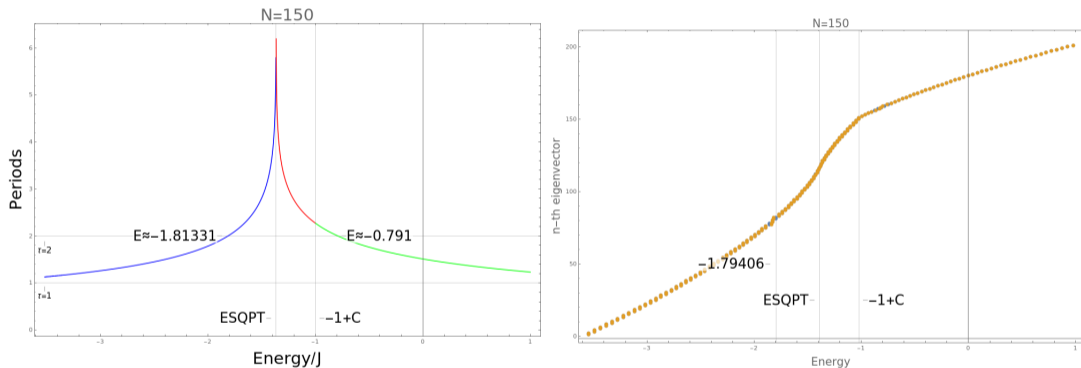


Figura 11: LMG Periods (left, $\epsilon = 0$) and Expectacion values (right, $\epsilon = \frac{\pi}{1000}$, $\tau = 1$)

Resonancias en dirección Jz

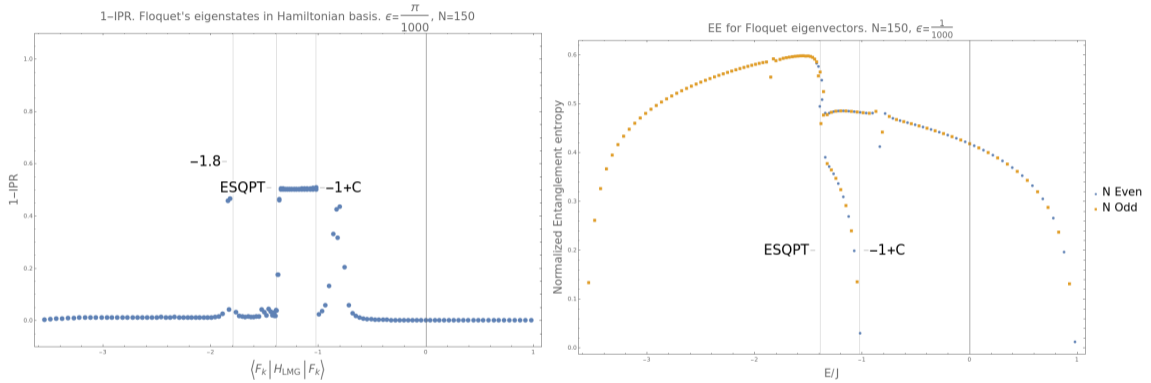


Figura 12: 1-IPR (left, $\epsilon = \frac{\pi}{1000}$) and Expectacion values (right, $\epsilon = \frac{\pi}{100}$, $\tau = 1$)

Resonancias en dirección J_z

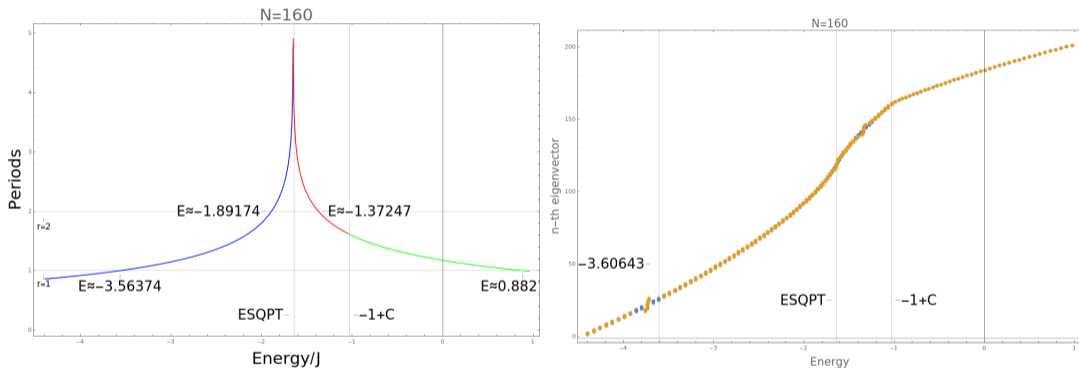


Figura 13: LMG Periods (left, $\epsilon = 0$) and Expectation values (right, $\epsilon = \frac{\pi}{1000}$, $\tau = 1$)

Resonancias en dirección Jz

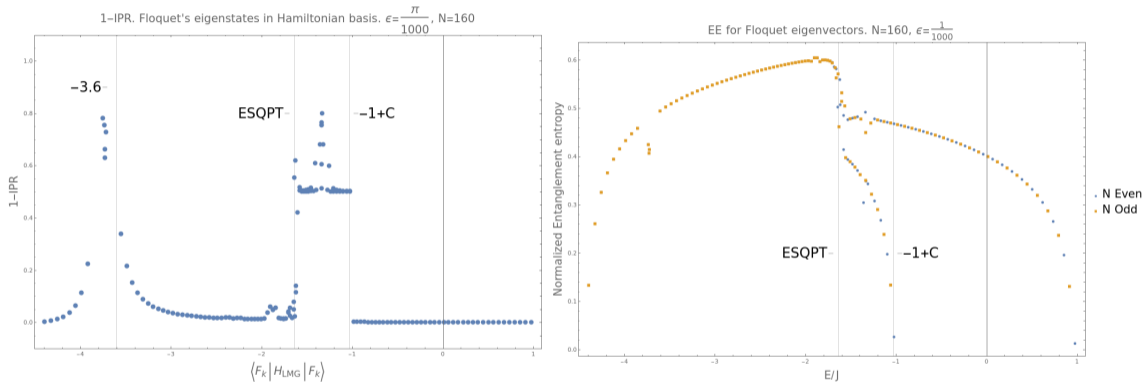


Figura 14: 1-IPR (left, $\epsilon = \frac{\pi}{1000}$) and Expectacion values (right, $\epsilon = \frac{\pi}{100}$, $\tau = 1$)

Funciones de Husimi en resonancia

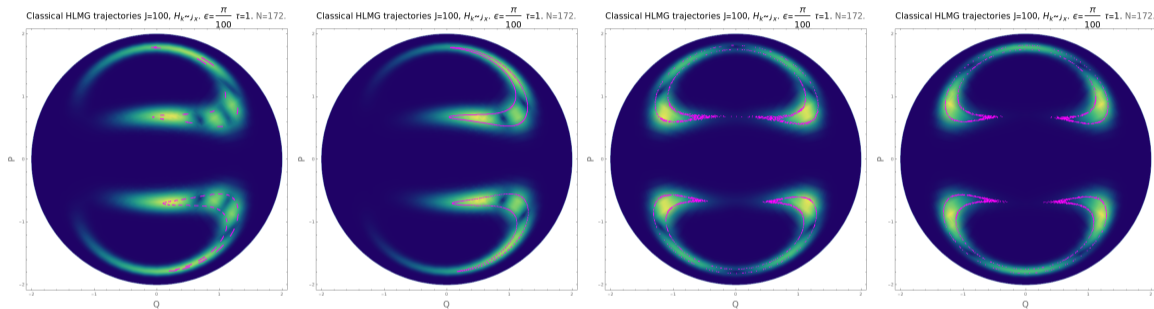


Figura 15: Caso patada J_x (izquierda) y J_z (derecha). Trayectorias clásicas con la misma energía en Magenta.

¡Muchas gracias!